



بررسی تأثیر اجزای ساختاری بر رفتار بیومکانیکی بال عقب ملخ صحراوی

ابوالفضل درویزه^۱، ندا شفیعی^۲، منصور درویزه^۳، حمیدرضا حبیب‌الهی^۴ و حامد رجبی^{۵*}

۱- استاد، مهندسی مکانیک، دانشگاه آزاد اسلامی واحد انزلی، بندر انزلی

۲- دانشجوی کارشناسی ارشد، مهندسی مکانیک، دانشگاه گیلان، رشت

۳- استاد، مهندسی مکانیک، دانشگاه گیلان، رشت

۴- دانشجوی کارشناسی ارشد، مهندسی مکانیک، دانشگاه گیلان، رشت

۵- مری، مهندسی مکانیک، موسسه آموزش عالی احرار، رشت

* رشت، صندوق پستی ۴۱۹۳۱-۶۳۵۸۴

harajabi@ahrar.ac.ir

چکیده

این مقاله به مطالعه تأثیر اجزای ساختاری بال عقب ملخ صحراوی بر رفتار بیومکانیکی آن می‌پردازد. نخست، بال حشره تحت بررسی میکروسکوپی با استفاده از میکروسکوپ الکترونی قرار می‌گیرد. نتایج به دست آمده از بررسی‌های میکروسکوپی جهت ارائه مدل‌های المان محدود از بال با در نظر گرفتن اجزای ساختاری متفاوت به کار گرفته می‌شود. مدل‌های ارائه شده تحت اثر نیروهای اینرسی و آیروдинامیکی وارد بر بال در ضمن پرواز قرار گرفته و تشنه ها و جایه‌جایی‌های ناشی از آن‌ها ارزیابی می‌گردند. نتایج نشان داده است که حضور رگ‌های طولی، رگ‌های طولی و عرضی، چین و چروک‌ها، چین و چروک‌ها و رگ‌های طولی و در نهایت چین و چروک‌ها و رگ‌های طولی و عرضی به ترتیب باعث میانگین کاهش ۴، ۲۵/۷۵، ۴/۳۴، ۱۸۴/۵۴ و ۷۶۸/۵ می‌شوند. برای تنش اصلی پذیده امده نسبت به بال فاقد اجزای ساختاری شده است. اجزای ساختاری بال ملخ همچنین نقش موثری در یکنواخت شدن شبک توزیع تنش و کاهش دامنه تغییرات آن در یک سیکل پرواز ایفا می‌کنند. همچنین نشان داده می‌شود که تأثیر نیروهای اینرسی و آیرو DINAMIKI بر تغییر شبک بال حین پرواز از تأثیر نیروهای الاستیک کمتر است. نتایج حاصل از این تحقیق می‌تواند در ساخت سازه‌های سبک با مقاومت بالا به کار گرفته شود.

اطلاعات مقاله

مقاله پژوهشی کامل

دربافت: ۱۳ اردیبهشت ۱۳۹۳

پذیرش: ۲۴ تیر ۱۳۹۳

ارائه در سایت: ۲۳ مهر ۱۳۹۳

کلید واژگان:

روش المان محدود

ساختار میکروسکوپی

توزیع تنش

ملخ صحراوی

جزء ساختاری

Investigation of the effects of constructional elements on the biomechanical behavior of desert locust hind wing

Abolfazl Darvizeh¹, Neda Shafiee², Mansoor Darvizeh³, Hamidreza Habibollahi⁴, Hamed Rajabi^{5*}

1- Department of Mechanical Engineering, Anzali Branch, Islamic Azad University, Bandar Anzali, Iran

2- Department of Mechanical Engineering, University of Guilan, Rasht, Iran

3- Department of Mechanical Engineering, University of Guilan, Rasht, Iran

4- Department of Mechanical Engineering, University of Guilan, Rasht, Iran

5- Department of Mechanical Engineering, Lahijan Branch, Islamic Azad University, Lahijan, Iran

* P.O. Box 41931-63584, Rasht, Iran, harajabi@ahrar.ac.ir

ARTICLE INFORMATION

Original Research Paper

Received 03 May 2014

Accepted 15 July 2014

Available Online 15 October 2014

Keywords:

Finite element method

Microstructure

stress distribution

desert locust

constructional element

ABSTRACT

This paper investigates the effects of constructional elements on the biomechanical behavior of desert locust hind wing. First, the microstructure of the insect wing is investigated using scanning electron microscope. The results of the scanning electron microscopy are used to develop finite element models of the wing with different constructional elements. The presented models are studied under the inertial and aerodynamic loads applied during flight and the obtained stresses and displacements are assessed. The results show that longitudinal veins, longitudinal and cross veins, corrugations, corrugations and longitudinal veins and finally a combination of corrugations and longitudinal and cross veins cause, on average, a 4, 25.75, 4.34, 184.54, 768.5 times decrease of the achieved principal stresses in comparison with a wing without the mentioned constructional elements. Constructional elements of the locust wing play an important role to stabilize the pattern of stress distribution in the wing during flight. Further, the existence of the mentioned constructional elements causes a decrease in the variation of the stress within a stroke-cycle. In addition, it is shown that the inertia and aerodynamic forces have less effect on the wing deformation than the elastic ones. The results of this research may be helpful in the development of lightweight structures with high strength.

که از به حرکت درآمدن بال، تغییر در جهت بال زنی و تغییر در شتاب بال

ایجاد شده، نیروهای آیرو دینامیکی بر اثر پرواز حشره از طریق هوا به بال وارد

شده و نیروهای الاستیک نیز به وسیله ماهیچه‌های بدن حشره ایجاد می-

باشند، نیروهای اینرسی نیز به طور مداوم تحت اثر نیروهای اینرسی،

آیرو دینامیکی و الاستیک قرار می‌گیرند. نیروهای اینرسی نیروهایی هستند

۱- مقدمه

Please cite this article using:

A. Darvizeh, N. Shafiee, M. Darvizeh, H.R. Habibollahi, H. Rajabi, Investigation of the effects of constructional elements on the biomechanical behavior of desert locust hind wing, *Modares Mechanical Engineering*, Vol. 14, No. 14, pp. 235-244, 2015 (In Persian)

برای ارجاع به این مقاله از عبارت ذیل استفاده نمایید:

هربرت و همکارانش [4] برای بررسی اثر چتری شدن در بال ملخ به کمک نتایج به دست آمده نشان داده که ایجاد هرگونه تغییر شکل در ساختار بال کانتور جابه جایی و محل ایجاد بیشترین جابه جایی را کاملاً تغییر داده و تنها نتایج مربوط به بالی که مشابه بال واقعی مدل سازی شده با نتایج آزمایشگاهی آنها مطابقت داشته است. تیلی و همکارانش [5] مدل المان محدود بال سوسک را ایجاد کردند. آنها با اختصاص ضخامت و مدول یانگ‌های متفاوت به نواحی مختلف بال مقدار نیروی لازم برای ایجاد جابه جایی مشخص در نقاط خاصی از بال را محاسبه و کانتور جابه جایی را نیز ارائه کردند. نتایج آن‌ها نشان داد که برای ایجاد جابه جایی ۱/۱ میلیمتر در نقطه خاصی واقع در میانه مرز بالایی بال به طور میانگین ۱۰/۱۲ میلی نیوتون نیرو لازم است. کمبس و دنیل [6] به کمک روش تجربی سهم هر یک از نیروهای اینرسی و آبودینامیکی را بر تغییر شکل بال نوعی پروانه بررسی کردند. آنها بال این حشره را جدا کرده و به کمک موتور در هوا و گاز هلیوم به حرکت در آوردند و خمس ایجاد شده در این دو حالت را با هم مقایسه کردند. نتایج آنها نشان داده است که کاهش ۸۵ درصدی چگالی هلیوم نسبت به هوا اختلاف بسیار کمی در تغییر شکل بال به وجود آورده است. در نهایت آنها به این نتیجه رسیدند که نیروهای دینامیکی وارد شده از طرف سیال کمترین تأثیر را در خمس بال داشته است. جنگریوس و لنتینک [7] نیروهای آبودینامیکی و اینرسی وارد بر بال جلویی سنجاقک را به کمک روش تحلیلی محاسبه کردند. نتایج آنها نشان داده است که نیروهای اینرسی وارد بر بال بیشتر از نیروهای آبودینامیکی بوده و بیشترین مقدار نیروهای اینرسی و آبودینامیکی به ترتیب در هنگام معکوس شدن جهت ضربه‌زنی بال و میانه ضربه‌زنی بال روی می‌دهد. آنها همچنین بر یکسان نبودن مقدار نیروهای آبودینامیکی و اینرسی در نواحی مختلف بال اشاره کرده و با جمع بستن این نیروها در راستای عرضی بال نمودار تغییر نیروهای اینرسی و آبودینامیکی را در راستای طولی برای بال جلویی سنجاقک به دست آورده‌اند. آنها بال سنجاقک را با در نظر گرفتن چین‌وچروکها و یکسان نبودن ضخامت و اندازه رگ‌ها در نواحی مختلف بال مدل سازی کرده و با در نظر گرفتن مدول یانگ ثابت برای رگ‌ها و پوسته در تمام نواحی بال کانتور جابه جایی را برای بال جلویی سنجاقک به دست آورده و دریافتند که نیروهای اینرسی نسبت به نیروهای آبودینامیکی سهم بیشتری را در تغییر شکل بال داشته و بیشترین تغییر شکل در هنگام معکوس شدن ضربه‌زنی به بال و پایین نتیجه گرفتند که بال در برابر نیروهای وارد شده از سمت مقعر صلبیت بیشتری نسبت به نیروهای وارد شده از سمت محدب دارد.

این مقاله ضمن مطالعه ساختار میکروسکوپی بال‌های عقب ملخ صحرایی، با استفاده از روش المان محدود به بررسی توزیع نتش و جابه‌جایی‌های ایجاد شده بر اثر اعمال نیروهای آبودینامیکی و اینرسی با توزیع یکنواخت در پرواز محدود شده ملخ می‌پردازد و نتایجی را که کمبس و دنیل به کمک روش تجربی [6] و رجبی و همکارانش به کمک روش تحلیلی [8] برای بال حشرات به دست آورده‌اند، با استفاده از روش المان محدود تأیید می‌کنند. همچنین تأثیر حضور رگ‌های طولی و عرضی و چین‌وچروکها را بر جابه‌جایی‌ها و نتش‌های وارد شده به بال بررسی و با هم مقایسه می‌کنند.

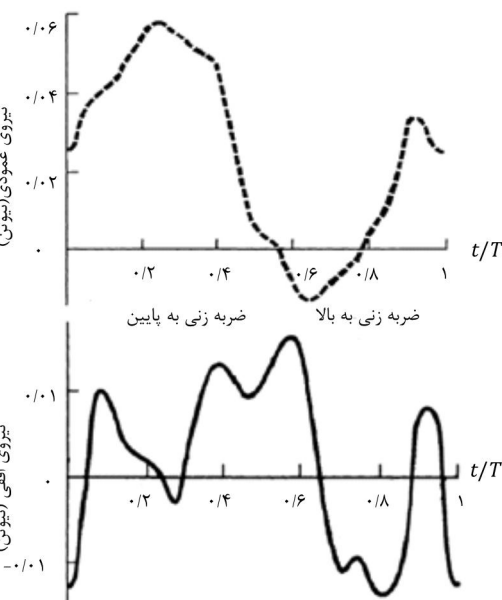
2- مواد و روش‌ها

2-1- میکروسکوپ الکترونی

برای بررسی ساختار میکروسکوپی بال عقب ملخ صحرایی یک ملخ صحرایی

شوند. لازم به ذکر است که بال‌های حشرات فاقد ماهیچه بوده و نیروهای الاستیک تنها از طریق ماهیچه‌های متصل به پایه بال به آن وارد می‌شوند. این نیروها عامل ایجاد تنفس و تغییر شکل در بال‌های حشرات هنگام پرواز هستند. اولین مطالعات انجام شده در رابطه با آبودینامیک پرواز ملخ را می‌توان به ویس فاگ و جنسن نسبت داد [1] و [2]. جنسن [2] نیروهای آبودینامیکی وارد بر بال ملخ را در پرواز افقی آزاد محاسبه کرد. وی اثرات ناپایداری را در نیروهای آبودینامیکی در نظر نگرفته بود. کلولپلتو با در نظر گرفتن اثرات غیر پایا در آبودینامیک پرواز ملخ نیروهای عمودی لحظه‌ای را برای ملخ به دست آورد. منحنی این نیروها مشابه همان‌هایی بود که جنسن به دست آورده اما دامنه نیروهای کلولپلتو دو برابر نیروهای جنسن بود. کلولپلتو این اختلاف دامنه را به دلیل پایدار در نظر گرفتن آبودینامیک و فرضیات شباهستاتیکی در مطالعات جنسن دانست. کلولپلتو نیروهای افقی وارد بر بال را محاسبه نکرده بود. ویلکین [3] با غیر پایا در نظر گرفتن آبودینامیک پرواز ملخ نیروهای افقی و عمودی وارد بر بال ملخ را در یک سیکل در پرواز محدود شده^۱ به دست آورده، اما تغییر مقدار این نیروها را در نواحی مختلف بال ارائه نکرده است. لذا ما با یکنواخت در نظر گرفتن توزیع این نیروها در نواحی مختلف بال نتش‌های وارد بر بال عقب ملخ صحرایی را به کمک نتایج ویلکین محاسبه کردیم. شکل ۱ نیروهای افقی و عمودی به دست آمده به کمک آزمایش‌های ویلکین را نشان می‌دهد.

تاکنون مطالعات بسیاری در رابطه با تنفس و تغییر شکل‌های ایجاد شده در بال حشرات بر اثر اعمال نیروهای شباهستاتیکی و دینامیکی صورت گرفته است. بسیاری از محققان به کمک روش‌های تجربی و عددی، تنفس و جابه‌جایی‌های ایجاد شده در بال حشرات را بر اثر اعمال نیروهای خارجی محاسبه کرده‌اند. روش المان محدود، با تغییر در ساختار رگ‌ها و پوسته بال ۵ طرح مختلف برای ناحیه پایینی بال عقب ملخ ارائه کرددند و با اعمال نیروی شباهستاتیکی بر این ناحیه اثر تغییر یافتن ساختار رگ‌ها و پوسته را بر محل ایجاد بیشترین جابه جایی بررسی کرده و محل ایجاد این مقدار جابه جایی را در مدل‌های ارائه شده با هم مقایسه کردند.



شکل ۱ نیروهای عمودی و افقی به دست آمده توسط ویلکن برای بال عقب ملخ [3]

۱- پرواز محدود شده پروازی است که در آن بدن حشره به کمک سیم مقید شده و حشره قادر به حرکت به سمت جلو نمی‌باشد.

اسمیت و همکارانش ضخامت و مدول یانگ نواحی مختلف بال عقب ملخ را اندازه‌گیری کردند و مقادیر میانگین آن‌ها را برای نواحی سخت پیشین و باذرن پسین به دست آوردند، همچنین بازه‌ای را برای ضخامت و مدول یانگ این دو ناحیه ارائه کردند. هربرت و همکارانش به کمک این داده‌ها ناحیه باذرن پسین را به ۳ قسمت تقسیم کرده و مدول یانگ هر یک از این نواحی را به کمک بازه‌هایی که اسمیت و همکارانش داده بودند محاسبه کردند. در این مقاله با روشنی مشابه، هر یک از نواحی سخت پیشین و باذرن پسین به سه قسمت تقسیم شده و ضخامت و مدول یانگ آن‌ها به دست آمده است.

۳. هر یک از نواحی ۱ تا ۶ همگن فرض شده‌اند.

۴. ضریب پواسون برابر $0/3$ در نظر گرفته شده است.

۵. چگالی پوسته برابر ۱۲۰۰ کیلوگرم بر متر مکعب در نظر گرفته شده است.

۶. پوسته بال با المان‌های چهارگوش خطی از نوع SR4 مشبندی شده است.

۷. تعداد المان‌های مربوط به پوسته پس از همگرا سازی نتایج برابر ۶۶۸۶ عدد شده است.

مدل ۲ - بال بدون حضور چین و چروک‌ها، در حضور رگ‌های طولی
این مدل از کنار هم قرار گرفتن پوسته بال و رگ‌های طولی حاصل شده است و خصوصیات آن به شرح زیر است:

۱. پوسته بال دقیقاً همان پوسته مدل ۱ است.

۲. رگ‌های طولی به صورت لوله‌های تو خالی با مقطع دایره‌ای شکل مدل - سازی شده‌اند و قطر داخلی و خارجی آن‌ها مانند شفت پلکانی طی ۵ مرحله از پایه به سمت لبه بال کاهش یافته است.

۳. قطر داخلی و خارجی رگ‌های طولی در پایه بال به ترتیب ۴۸ میکرومتر و ۱۲۵ میکرومتر در نظر گرفته شده است.

۴. قطر داخلی و خارجی رگ‌های طولی در لبه بال به ترتیب برابر ۲۲ میکرومتر و ۲۷ میکرومتر در نظر گرفته شده است.

۵. مدول یانگ رگ‌های طولی در تمام نواحی ثابت و برابر ۶ گیگاپاسکال در نظر گرفته شده است [۴].

۶. ضریب پواسون پوسته و رگ‌ها برابر $0/3$ در نظر گرفته شده است.

۷. چگالی پوسته و رگ‌ها برابر ۱۲۰۰ کیلوگرم بر متر مکعب در نظر گرفته شده است.

۸. پوسته بال توسط المان‌های چهارگوش خطی^۳ از نوع SR4 و رگ‌های طولی توسط المان‌های خطی^۴ از نوع B31 مشبندی شده‌اند.

۹. پس از همگرا سازی نتایج تعداد المان‌های پوسته برابر ۱۱۳۰۳۰ و تعداد المان‌های رگ‌های طولی برابر ۱۱۲۴۳۰ شده است.

مدل ۳ - بال بدون حضور چین و چروک‌ها، در حضور رگ‌های طولی و عرضی
این مدل از کنار هم قرار گرفتن پوسته بال و رگ‌های طولی و عرضی حاصل شده است و خصوصیات آن در زیر بیان شده است:

۱. پوسته بال و رگ‌های طولی آن دقیقاً مانند مدل ۲ هستند.

۲. رگ‌های عرضی به صورت لوله‌های تو خالی با مقطع دایره‌ای مدل سازی شده‌اند.

۳. قطر داخلی و خارجی رگ‌های عرضی در تمام نواحی بال ثابت و به ترتیب برابر ۲۷ و ۵۰ میکرومتر است.

۴. مدول یانگ رگ‌های عرضی در تمام نواحی برابر ۶ گیگاپاسکال در نظر گرفته شده است.

بالغ که از گیاهان تازه تغذیه کرده بود انتخاب شد. یک ماه بعد از مرگ ملخ برش‌هایی در نواحی مختلف شامل نواحی نزدیک به لبه بال، نواحی میانی به حمله، نواحی میانی لبه فرار و نواحی نزدیک به پایه ایجاد شد. سپس به کمک دستگاه پوشش دهنده سطح هر یک از این نواحی توسط لایه‌ای نازک از طلا پوشانده شد و در میکروسکوپ الکترونی فیلیپس XL30 ساختار میکروسکوپی هر یک از این نواحی مورد بررسی قرار گرفت. لازم به ذکر است که عکس‌های میکروسکوپی ارائه شده در این مقاله مربوط به بال عقب سمت راست ملخ صحرایی است.

۲-۲- مدل‌سازی، ویژگی‌های مواد و مشبندی

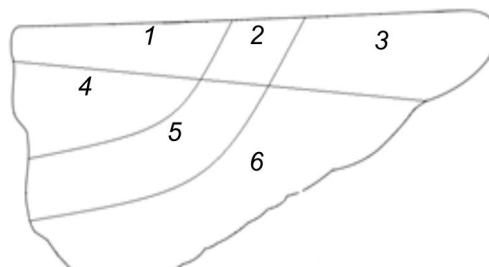
پس از بررسی ساختار میکروسکوپی، به کمک عکس‌های تهیه شده از بال عقب ملخ صحرایی مدل‌هایی از بال حشره به کمک نرم‌افزار Cimatia^۱ ایجاد شدند، سپس در نرم‌افزار ایکس^۲ تنش‌ها و جابه‌جایی‌های ایجاد شده در آن‌ها مورد بررسی قرار گرفتند. مدل‌های ارائه شده در این مقاله کامل ترین مدل‌هایی هستند که تا کنون جهت بررسی تأثیر اجزای ساختاری بال ملخ بر رفتار بیومکانیکی آن ایجاد شده‌اند. زیرا علاوه بر بررسی تأثیر وجود چین و چروک‌ها، تأثیر حضور رگ‌های طولی و عرضی را نیز مورد مطالعه قرار می‌دهند. علاوه بر این در مدل بال کامل حضور چین و چروک‌ها و تمامی رگ‌های طولی و عرضی، یکسان نبودن ضخامت پوسته و رگ‌های طولی و همچنین یکسان نبودن خواص مکانیکی در نواحی مختلف بال در نظر گرفته شده است. جزئیات مربوط به هر یک از مدل‌های ساخته شده در ادامه ارائه شده است.

مدل ۱ - بال بدون حضور چین و چروک‌ها و رگ‌های طولی و عرضی
در این مدل سطح پوسته بال صاف بوده، چین و چروک و رگ‌های طولی و عرضی وجود ندارند. فرضیات این مدل به شرح زیر است:

۱. بال به صورت یک پوسته دوبعدی مدل‌سازی شده است.

۲. بال به ۶ ناحیه تقسیم شده و به هر ناحیه ضخامت و مدول یانگ جدا- گانه‌ای اختصاص یافته است. تقسیم‌بندی بال در شکل ۲ و مقادیر ضخامت و مدول یانگ هر یک از ۶ ناحیه در جدول ۱ نشان داده شده است.

این تقسیم‌بندی در نواحی بال بر مبنای اطلاعات حاصل از یافته‌های اسمیت و همکارانش [۹] و تقسیم‌بندی‌های صورت گرفته توسط هربرت و همکارانش [۴] و به دلیل خواص مکانیکی و ضخامت متفاوت این نواحی در نمونه بال واقعی است.



شکل ۲ تقسیم‌بندی بال برای اختصاص ضخامت به آن

جدول ۱ مقدار ضخامت و مدول یانگ‌های اختصاص یافته به نواحی ۱ تا ۶ مربوط به شکل ۲

شماره ناحیه	ضخامت (میکرومتر)	مدول یانگ(گیگاپاسکال)
6	1/3	1/7
5	2/13	5/1
4	3/12	8/2
3	3/71	9/9
2	4/3	11/7
1		

1- CATIA V5R16
2- ABAQUS

3- Linear quadrilateral
4- linear line

نیروهای آبودینامیکی در کمترین حد خود قرار دارد و بالعکس. سهم بالهای جلو و عقب در تولید نیرو در حشرات مختلف با هم متفاوت است. در حشره‌ای مانند سنجاقک که اندازه بالهای جلو و عقبی تقريباً با هم برابر است سهم این بالها نیز در تولید نیروها تقريباً يکسان است. اما در حشره‌ای مانند ملخ به دليل وسیع تر بودن بالهای عقب، سهم این بالها در تولید نیروها بيشتر است و به همين دليل در اين جا مطالعات بر روی بالهای عقب ملخ متمنظر شده است. لازم به ذكر است که بالهای عقب ملخ اين توانائي را دارند که در طول پرواز مانند يك باديزن جمع و باز شوند، درحالی که بالهای بسياري از حشرات مانند سنجاقک اين قابلیت را ندارد. در حين ضربه زني بال به سمت پاپين که نیروی ليفت درجهت بالا به بال ملخ وارد می شود و به صعودش در هوا کمک می کند، ملخ تا حد امكان بالهای عقب خود را باز کرده تا نیروی ليفت بيشتری به آن وارد شود و هنگام ضربه زني بال به سمت بالا که نیروی ليفت درجهت پاپين به آن وارد می شود حدود 30 درصد [11] از مساحت بال خود را جمع می کند تا نیروی کمتری به آن وارد شده و از سقوطش در هوا جلوگيري کند.

در رابطه با بال ملخ همان طور که قبلًا نيز اشاره شد ويلكن [3] برآيند نیروهای اينرسی و آبودینامیکی را در دو راستای افقی و عمودی محاسبه کرده، اما نحوه توزيع اين نیروها را در بال به دست نياورده است. در اين مقاله برای بررسی تنش‌ها و جابه‌جايی‌های ايجاد شده در هر يك از مدل‌ها نياز به اعمال نیروهای ديناميکي است لذا اين نیروها با شرایط زير بر هر يك از مدل‌ها وارد شده‌اند:

1. در تمامی مدل‌ها انتهای بال مانند تير يك‌سردرگير گيردار شده و درجه آزادی آن صفر در نظر گرفته شده است.

2. به کمک نتایج ويلكن که در شکل 1 نشان داده شده است، برآيند نیروهای آبودینامیکی و اينرسی در راستای افقی و عمودی به صورت بار گستردۀ با توزيع يکنواخت در يك سیکل پرواز به بال وارد شده‌اند. به اين منظور داده‌های نموداری شکل 1 به کمک نرمافزار گت ديتا¹ به داده‌های جدولی تبدیل شده‌اند. سپس اين داده‌ها در نرمافزار اباکس بر روی هر يك از مدل‌ها به صورت نیروهای عمودی و موازي با بال در هر نقطه از آن، اعمال شده‌اند.

3- نتایج

3-1- عکس‌های ميكروسكوبی

بال عقب سمت راست ملخ صحرایی و نواحی انتخابی برای عکس‌برداری ميكروسكوبی در شکل 3 نشان داده شده است. همان طور که در شکل 3 برای بال كامل نشان داده شده است بالهای ملخ دارای دو نوع رگ، رگ‌های طولی و رگ‌های عرضی، است. اين رگ‌ها وظيفه انتقال لنف، اكسيزن و پیام‌های حسى را به عهده دارند [12] و مانند اسکلتی هستند که به افزایش استحکام و مقاومت بال کمک می کنند.

رگ‌های طولی که سطح بیرونی آن‌ها در نواحی مختلف بال در شکل‌های 3-الف، چ، خ، د و س و سطح مقطعشان در شکل‌های 3-ت، ج، ذ و ر مشاهده می‌شود رگ‌های قطورتر و طویل‌تر بال هستند و اندازه سطح مقطعشان از پايه به سمت لبه بال کاهش می‌يابد. اين رگ‌ها در پايه بال که نیروهای خمشی بيشتری به بال وارد می‌شود قطورتر و در لبه‌ها که مقدار اين نیروها کاهش می‌يابد ظريفتر هستند. اين کاهش مقطع از پايه به سمت لبه بال باعث کاهش ممان اينرسی و جرم بال می‌شود [4].

1- Get Data

5. ضريب پواسون در تمام نواحی برابر 0/3 در نظر گرفته شده است.
6. چگالی پوسته و رگ‌ها برابر 1200 کيلوگرم بر متر مکعب در نظر گرفته شده است.

7. رگ‌های عرضی با المان‌های خطی از نوع B31 مشبندی شده‌اند.
8. پس از همگرا سازی نتایج تعداد المان‌های پوسته برابر 137932 و تعداد المان‌های مربوط به رگ‌های طولی و عرضی برابر 152996 عدد شده است.

مدل 4- بال چروکيدگی‌های پوسته بال تا حد امكان مدل‌سازی شده است و فرضيات آن به شرح زير است:

1. بال به صورت يك پوسته سه‌بعدی مدل‌سازی شده است.
2. خصوصيات و نوع مشبندی پوسته مانند مدل 1 است و تفاوت اين دو مدل در لاحظ شدن چروکيدگی‌های مربوط به پوسته در مدل سه بعدی است.

3. تعداد المان‌ها پس از همگرا سازی به 8629 عدد رسیده است.
مدل 5- بال چروکيده در حضور رگ‌های طولی

این مدل از کنار هم قرار دادن پوسته چروکيده و رگ‌های طولی حاصل شده است و فرضيات آن به شرح زير است:

1. پوسته بال و رگ‌های آن به صورت سه‌بعدی مدل‌سازی شده‌اند.

2. خصوصيات و نوع مشبندی پوسته و رگ‌های طولی مانند مدل 2 می‌باشد و تفاوت اين دو مدل در لاحظ شدن چروکيدگی‌های مربوط به پوسته و رگ‌های طولی در مدل سه بعدی است.

3. تعداد المان‌های پوسته و رگ‌های طولی پس از همگرا سازی به ترتيب برابر 89689 و 57714 عدد شده است.

مدل 6- بال چروکيده در حضور رگ‌های طولی و عرضی
این مدل از کنار هم قرار گرفتن پوسته چروکيده و رگ‌های طولی و عرضی به دست آمده است و فرضيات آن به شرح زير است:

1. پوسته بال و رگ‌های آن به صورت سه‌بعدی مدل‌سازی شده‌اند.

2. پوسته بال و رگ‌های طولی همان‌هاي هستند که در مدل 5 استفاده شده‌اند.

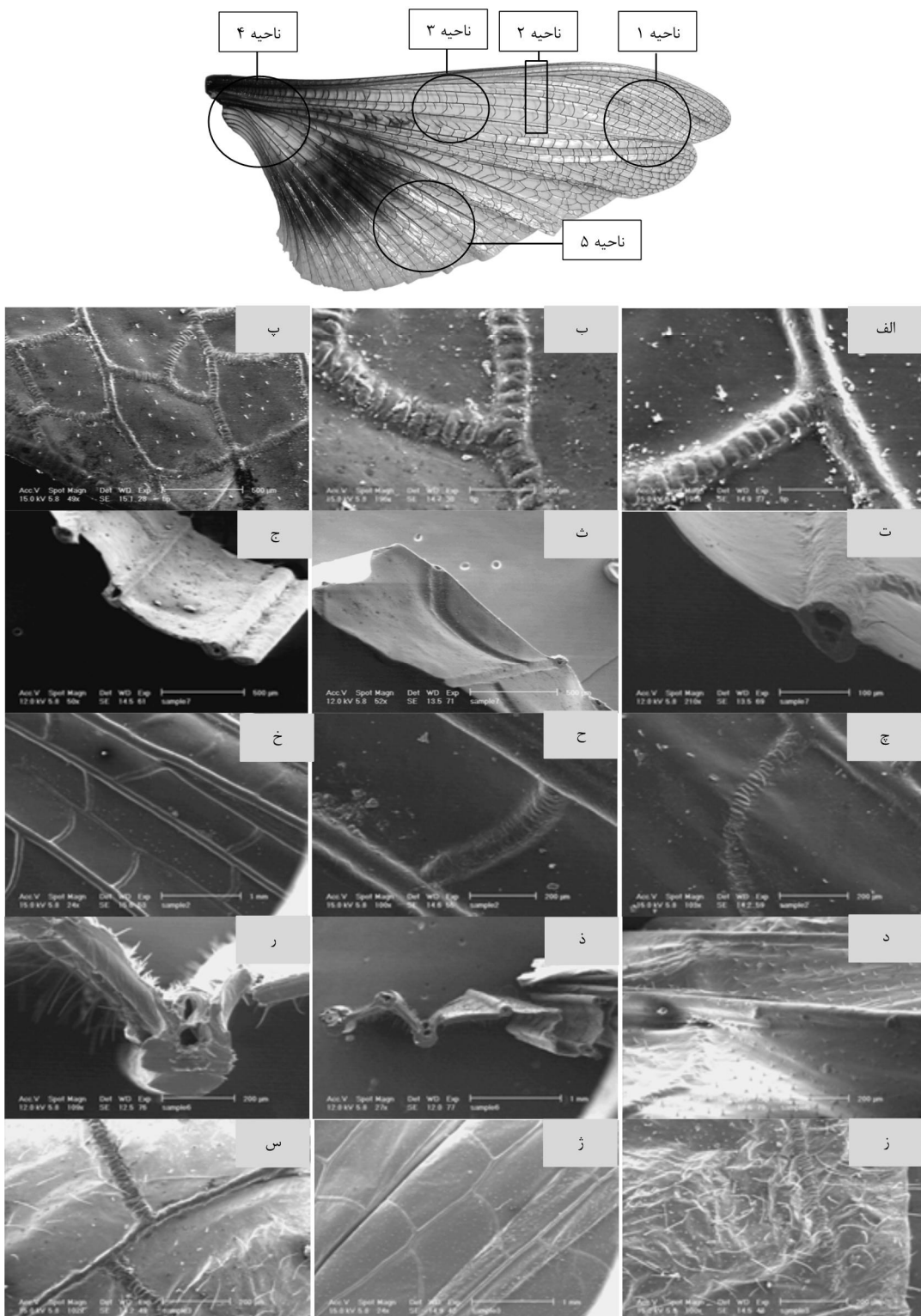
3. رگ‌های عرضی همان‌هاي هستند که در مدل 3 استفاده شده‌اند، با اين تفاوت که در اين جا رگ‌ها نيز مانند پوسته بال دارای چروکيدگی می‌باشند.

4. مدول يانگ، ضريب پواسون، چگالی و نوع المان‌ها در مشبندی رگ‌های عرضی مانند مدل 3 است و اين رگ‌ها مانند سایر نواحی بال همگن در نظر گرفته شده‌اند.

5. تعداد المان‌های پوسته و رگ‌های طولی و عرضی پس از همگرا سازی به ترتيب برابر 89880 و 160973 عدد شده است.

2-3- بارگذاري

حرکت بالهای حشرات حين پرواز ترکیبی از يك حرکت انتقالی رفت و برگشتی و يك حرکت دوراني است [10]. همان طور که قبلًا توضیح داده شد در طول پرواز سه نیروی الاستیک، اینرسی و آبودینامیکی بر بال وارد می‌شود. تاکنون مطالعات بسياري در رابطه با نیروهای وارد بر بال حشرات صورت گرفته است. توزيع نیروی اینرسی و آبودینامیکی ارائه شده توسيع جنجريوس و لنتينك [7] برای بال سنجاقک نشان می‌دهد که بيشترین مقدار نیروی اینرسی در لبه بال و بيشترین مقدار نیروهای آبودینامیکی در قسمت ميانی بال واقع در 0/8 طول کلي بال از پايه قرار دارد. همچنين آن‌ها نشان داده‌اند که هنگامی که نیروی اینرسی به بيشترین مقدار خود می‌رسد



شکل 3 عکس‌های میکروسکوپی گرفته شده از نواحی مختلف بال عقب سمت راست ملخ صحرایی. شکل‌های الف، ب، پ مربوط به ناحیه ۱، شکل‌های ت، ث، ج مربوط به ناحیه ۲، شکل‌های چ، ح، خ مربوط به ناحیه ۳، شکل‌های د، ذ، ر مربوط به ناحیه ۴ و شکل‌های ر، ذ، س مربوط به ناحیه ۵ بال مانند حباب‌هایی به هم چسبیده‌اند.

مطالعات انجام شده در این مقاله نشان می‌دهد که ساختار رگ‌های عرضی حبابی شکل مشابه لوله‌ای خرطومی¹ است. روشن است که خصوصیت بارز این ساختارها قابلیت انعطاف‌پذیری بالای آن‌هاست. چنین ساختاری در بال سنjacانک که رگ‌های عرضی آن نمی‌توانند مانند بال ملخ

1- Corrugated pipes

این ویژگی در حشرات مهاجر که نیاز به ذخیره انرژی دارند امری بسیار مهم تلقی می‌شود.

مطابق شکل 3-الف، چ، ح، خ و س رگ‌های طولی دارای سطح بیرونی صاف‌تری نسبت به رگ‌های عرضی بوده و چین‌وچروک بر روی این رگ‌ها مشاهده نمی‌شود. اما رگ‌های عرضی به جز در لبه حمله چروک‌کیده بوده [4] و همان طور که در شکل 3-الف، ب، پ، چ، ح، ز و س بهوضوح دیده می‌شود

ساختاری بال است بیشترین مقدار میانگین تنشها و مدل 6 که شامل تمامی عوامل ساختاری است کمترین مقدار میانگین تنشها را به خود اختصاص داده است. علاوه بر این اختلاف میانگین تنشهای به دست آمده برای مدل‌های 5 و 6 برابر $21/3$ مگا پاسکال بوده که کمترین مقدار اختلاف موجود میان هر ترکیب دوتایی از مدل‌ها می‌باشد. در این شکل مشاهده می‌شود که تأثیر حضور چین و چروک‌ها، در مدل 4، با اختلاف 106 مگاپاسکالی از تأثیر حضور رگ‌های طولی، در مدل 2، بر کاهش میانگین تنشها بیشتر و با اختلاف چشمگیر $1072/2$ مگاپاسکالی از تأثیر حضور رگ‌های طولی و عرضی، در مدل 3، بر کاهش میانگین تنشها کمتر است. به کمک این شکل مقایسه دوبعدی تنشهای هر یک از مدل‌ها به آسانی قابل انجام است.

از مقایسه انحراف معیارهای به دست آمده در شکل 5 نیز می‌توان دریافت که حضور اجزای ساختاری در بال علاوه بر کاهش تنشها، میزان تغییرات تنشهای وارد بر بال را نیز کنترل می‌کنند. مطابق داده‌های این شکل، تنشهای وارد بر مدل 1 بیشترین مقدار پراکندگی و تنشهای وارد بر مدل 6 کمترین مقدار پراکندگی را نسبت به مقدار میانگین خود دارند. این امر در شکل 6 که مقدار تنشهای جدول 2 را به صورت نموداری نشان می‌دهد نیز قابل لمس است. همان طور که در این شکل مشاهده می‌شود نمودار مدل‌های 6 و 5 که مطابق شکل 5 کمترین مقدار انحراف معیار را دارند تقریباً افقی بوده و مقادیر تنشهای آن‌ها در طول یک سیکل پرواز بسیار به پکدیگر نزدیک است. درحالی‌که برای مدل 1 که بیشترین مقدار انحراف معیار را دارد پراکندگی داده‌ها بسیار زیاد است و میزان تنش وارد شده بر بال در زمان‌های مختلف در طول یک سیکل پرواز دارای تغییرات قابل توجهی می‌باشد. بعد از مدل 6 و 5 مدل 3 کمترین انحراف معیار را دارد. بر اساس شکل 6 نیز پس از مدل‌های 6 و 5 نمودار مدل 3 نسبت به سایر مدل‌ها بیشترین نزدیکی را به حالت افقی دارد. پس از مدل 3 نیز مطابق شکل 6 مدل 2 و بعد از آن مدل 4 بیشترین نزدیکی را به حالت افقی دارند. مانند شکل 4، در شکل 5 نیز مقایسه دوبعدی میزان پراکندگی تنشهای هر یک از مدل‌ها به آسانی قابل انجام است.

همان طور که در شکل 5 مشاهده می‌شود، نمودار به دست آمده برای انحراف معیارها به جز در یک مرد روند افزایشی یا کاهشی مشابهی با نمودار شکل 4 دارد. در شکل 4 برای مدل 4 مشاهده کردیم که میانگین تنشهای آن با اختلاف 106 مگاپاسکالی از میانگین تنشهای مدل 2 کمتر است. درحالی‌که مطابق شکل 5 میزان پراکندگی تنشهای مدل 4 با اختلاف $125/7$ مگاپاسکالی از پراکندگی تنشهای مدل 2 بیشتر است. در حالت کلی می‌توان نتیجه گرفت که از میان عوامل ساختاری بررسی شده یعنی رگ‌های طولی، رگ‌های عرضی و چین و چروک‌ها، رگ‌های طولی و عرضی بیشترین تأثیر را در کاهش تنشها و تغییرات آن‌ها در طول پرواز دارند. با این حال نمی‌توان سهم چین و چروک‌ها و رگ‌های طولی و عرضی در کنار یکدیگر در مدل 6 میانگین تنشها و تغییرات آن‌ها را نسبت به مدل 3 که فاقد چروک‌یدگی می‌باشد به ترتیب $210/5$ مگاپاسکال و $108/33$ مگاپاسکال کاهش داده است.

شکل 7 توزیع تنشها و شکل 8 توزیع جابه‌جایی‌های ایجاد شده در هر یک از مدل‌ها را در زمان 0/1 سیکل نشان می‌دهد. به دلیل زیاد بودن تعداد شکل‌های مربوط به نتایج توزیع تنش و جابه‌جایی در سایر زمان‌ها و عدم امکان گنجاندن تمنمای آن‌ها در این مقاله، تنها نتایج مربوط به زمان 0/1 سیکل در شکل‌های 7 و 8 آورده شده و نتایج مربوط به سایر زمان‌ها در متن توضیح داده می‌شود.

دچار خمث شوند مشاهده نشده است [13].

در شکل 3-خ مشاهده می‌شود که در نزدیکی مرز بالایی بال یعنی ناحیه نزدیک به لبه حمله این حباب‌ها کاملاً به هم چسبیده‌اند و در بعضی موارد با فاصله کمی در کنار یکدیگر قرار گرفته‌اند. لبه حمله از سه رگ طولی تشکیل شده که در ساختاری 7 شکل در کنار یکدیگر قرار گرفته‌اند و به کمک تعداد زیادی از رگ‌های عرضی به هم متصل شده‌اند. در لبه حمله رگ‌های عرضی ساختار حباب حباب ندارند و سلول‌های به وجود آمده توسط این رگ‌ها در این لبه چهارگوش است [4]. سلول‌های چهارگوش نسبت به سلول‌هایی با ساختار پنج یا شش ضلعی مقاومت بالاتری دارند [14]. حباب در این ناحیه نشان دهنده استحکام بیشتر و انعطاف‌پذیری کمتر این ناحیه نسبت به سایر نواحی است. آن چنانکه ووتن بال حشره را به خاطر استحکام بالاتر این لبه نسبت به نواحی اطرافش به بادبان قایق تشبیه کرده است [15]. لازم به ذکر است که رگ‌های عرضی در سراسر بال مقطع تقریباً ثابتی داشته و سطح مقطعشان تقریباً دایره‌ای شکل است (شکل 3-ث). اما رگ‌های طولی همان طور که در شکل 3-ذ نیز نشان داده شده است، سطح مقطعی با شکل‌های دایروی، بیضوی و زنگوله‌ای یا دمبلی شکل دارند و این شکل مقطع‌ها بر مان اینرسی آن‌ها حول محورهای خاص اثر می‌گذارد. مطابق شکل 3-پ در ناحیه بالایی بال یک رگ مرزی وجود دارد، درحالی‌که این رگ در مرز پایینی بال در شکل 3-ز مشاهده نمی‌شود. سطح مقطع این رگ مرزی در مرز بالایی بال مطابق شکل 3-ج دوکی شکل است. همچنین در شکل 3-ذ، ر، ز و س مشاهده می‌شود که بر روی سطح بال خارهای کوتاه و بلندی وجود دارد. مطابق شکل 3-ز تجمع این خارها در ناحیه نزدیک به مرز پایینی بال که نسبت به سایر نواحی ساختار ظرفیتی دارد بیشتر است. علاوه بر این خارها در این ناحیه نسبت به ناحیه ضخیم‌تر نزدیک به پایه بال که در شکل 3-د نشان داده شده است طول بیشتری دارند. وظیفه اصلی این خارها پاسخ به محرك‌های مکانیکی و شیمیابی است [16]. این خارها همچنین می‌توانند به عنوان محافظی در برابر عوامل خارجی و سایر حشرات عمل کنند.

3- بررسی توزیع تنش در بال‌های عقب ملخ بر اثر اعمال نیروهای گستردۀ با توزیع یکنواخت

محدوده تنشهای وارد بر عمدۀ مساحت هر یک از مدل‌ها تحت معیار ماکزیمم تنش اصلی در یک سیکل پرواز در جدول 2 نشان داده شده است. تحقیقات نویسنده‌گان این مقاله نشان می‌دهد که نتیجه ماکزیمم تنش اصلی برای پیش‌بینی رفتار مکانیکی ساختارهای حیاتی از دقت بالایی برخوردار است [17] و [18]. نتایج به دست آمده در جدول 2 نشان می‌دهد که با به میان آوردن رگ‌های طولی، رگ‌های عرضی و چین و چروک‌ها میزان تنشهای وارد به بال و در نتیجه میزان جابه‌جایی‌های ایجاد شده در آن کاهش پیدا کرده است. برای درک بهتر تأثیر عوامل ساختاری بر تنشهای ایجاد شده، داده‌های جدول 2 در نرمافزار اس.پی. اس. اس¹ به کمک آنالیز فریدمن² مورد بررسی قرار گرفتند. با توجه به اینکه مقدار معنی‌دار³ حاصل بر اساس این روش برابر صفر می‌باشد، لذا میانگین تنشهای به دست آمده برای مدل‌ها دارای تفاوت معنی‌داری است. شکل 4 مقادیر میانگین تنشهای هر یک از مدل‌ها و شکل 5 مقادیر انحراف معیار آن‌ها را مطابق تحلیل فریدمن نشان می‌دهد. همان طور که در شکل 4 مشاهده می‌شود مدل 1 که فاقد عوامل

1- Spss

2- Fridman analysis

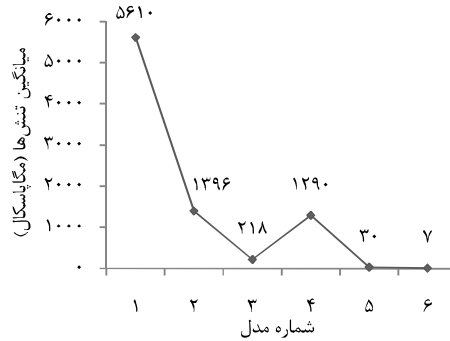
3- Sig

جدول 2 محدوده تنش‌های وارد بر مدل‌های ۱ تا ۶ بر حسب مگا پاسکال در فواصل زمانی ۰/۱ سیکل

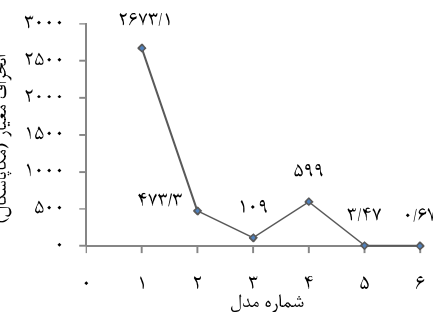
زمان	۰/۱	۰/۲	۰/۳	۰/۴	۰/۵	۰/۶	۰/۷	۰/۸	۰/۹	۱
مدل ۱	۰- ۱۳۰۰	۰- ۳۲۰۰	۰- ۲۱۰۰	۰- ۵۰۰۰	۰- ۷۸۰۰	۰- ۸۰۰۰	۰- ۹۴۰۰	۰- ۶۰۰۰	۰- ۶۵۰۰	۰- ۶۸۰۰
مدل ۲	۰- ۷۴۰	۰- ۱۸۰۰	۰- ۱۶۰۰	۰- ۱۰۰۰	۰- ۹۲۰	۰- ۲۰۰۰	۰- ۲۱۰۰	۰- ۱۲۰۰	۰- ۱۱۰۰	۰- ۱۱۰۰
مدل ۳	۰- ۱۳۰	۰- ۳۰۰	۰- ۳۴۰	۰- ۲۸۰	۰- ۹۸	۰- ۱۰۰	۰- ۲۹۰	۰- ۳۰۰	۰- ۲۹۰	۰- ۲۹۰
مدل ۴	۰- ۱۰۰۰	۰- ۲۰۰۰	۰- ۶۰۰	۰- ۲۰۰۰	۰- ۵۰۰	۰- ۲۰۰۰	۰- ۱۵۰۰	۰- ۱۵۰۰	۰- ۱۴۰۰	۰- ۱۴۰۰
مدل ۵	۰- ۳۳	۰- ۳۴	۰- ۳۰	۰- ۲۸	۰- ۲۹	۰- ۲۸	۰- ۲۸	۰- ۲۸	۰- ۲۸	۰- ۲۸
مدل ۶	۰- ۷	۰- ۹	۰- ۷	۰- ۸	۰- ۷	۰- ۷	۰- ۷	۰- ۷	۰- ۷	۰- ۷

به مدل ۱ یکنواخت تر است، همچنین بیشترین مقدار تنش‌ها در طول یک سیکل پرواز به نواحی نزدیک به پایه بال تعلق دارد. در شکل ۷-پ برای مدل ۳ کانتور تنش متفاوت با دو حالت قبل بوده و علاوه بر رویداد بیشینه تنش‌ها در نواحی نزدیک به پایه بال در طول یک سیکل، رگ‌های موجود در بال در هر ناحیه نسبت به پوسته مجاور خود مقدار تنش بیشتری را تحمل می‌کنند. به عنوان مثال در زمان ۰/۱ سیکل مقدار تنش در مرزی ترین قسمت رگ جداگانه ناحیه سخت پیشین و ناحیه بادزن پسین برابر ۷۶ مگاپاسکال بوده درحالی که مقدار تنش در پوسته بال در نزدیکی همین ناحیه ۲/۴ مگاپاسکال است. همچنین مقادیر تنش مدل ۳ از مدل‌های ۱ و ۲ کمتر است. از مقایسه توزیع تنش‌ها در مدل ۲ و ۳ می‌توان دریافت که حضور رگ‌های عرضی در لبه پایینی ناحیه بادزن پسین تنش‌های این ناحیه را نسبت به سایر نواحی بیشتر کاهش داده است. برای مدل ۴ نیز در شکل ۷-ت مشاهده می‌شود که بیشترین مقدار تنش‌ها در طول یک سیکل، در ناحیه میانی بال یعنی در نزدیکی مرز ناحیه سخت پیشین و بادزن پسین و کمی پایین‌تر از آن قرار دارد. حضور چین و چروک‌ها در بال باعث افزایش سطح و افزایش ممان اینترسی و در نتیجه کاهش تنش‌های وارد بر بال می‌شوند. به همین دلیل تنش‌های وارد بر پوسته چروک‌یده در مدل ۴ از تنش‌های وارد بر پوسته صاف در مدل ۱ کمتر است. حضور رگ‌های طولی در بال چروک‌یده نیز علاوه بر کاهش تنش‌های وارد بر بال، باعث یکنواخت‌تر شدن این تنش‌ها شده است. این امر را می‌توان در توزیع تنش به دست آمده برای مدل ۵ در شکل ۷-ث مشاهده کرد.

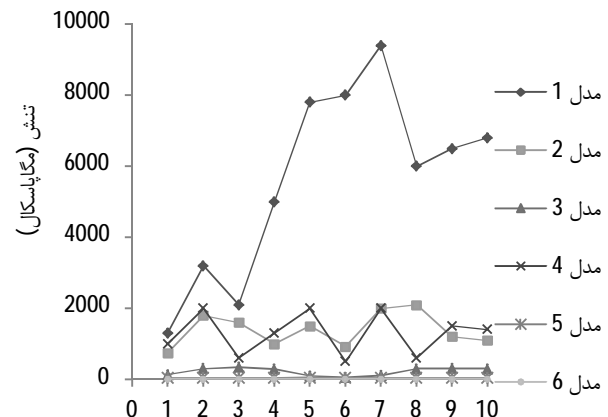
بیشینه تنش‌ها در این مدل در تمام طول سیکل در بخش میانی نواحی ۱ و ۳ اتفاق می‌افتد. در کانتور تنش مدل ۶ نیز در شکل ۷-ج مشاهده شده است که بیشترین مقدار تنش‌ها به نواحی نزدیک به پایه بال وارد شده و با پیشروی به سمت لبه‌های بال رفته‌رفته مقدار این تنش‌ها کاهش می‌یابد. حضور اجزای ساختاری در مدل ۶ که نزدیک‌ترین مدل به بال واقعی است باعث کاهش چشمگیر تنش‌های وارد بر بال شده است. چین و چروک‌ها و رگ‌های طولی و عرضی باعث شده‌اند که میزان تنش‌های وارد به مدل ۶ در نواحی نزدیک به لبه پایینی بال که ساختار ظرفیت‌تری نسبت به سایر نواحی دارد کاهش یابد، درحالی که در مدل ۱ که این اجزای ساختاری در بال در نظر گرفته نشده مقدار تنش در این ناحیه نه تنها کمینه نبوده بلکه در اکثر زمان‌ها نیز بیشینه است. لازم به ذکر است با توجه به شکل ۸-الف، محل ایجاد بیشترین جایه‌جایی برای مدل ۱ در میانه لبه بادزن پسین قرار دارد. در زمان ۰/۳ سیکل بیشینه جایه‌جایی‌ها به لبه ناحیه سخت پیشین انتقال می‌یابد و تا آخر سیکل در این ناحیه باقی می‌ماند. با توجه به شکل‌های ۸-ب و ۸-پ برای مدل‌های ۲ و ۳ نیز بیشترین جایه‌جایی در لبه سمت راست ناحیه سخت پیشین قرار دارد. محل ایجاد بیشینه جایه‌جایی‌ها برای این دو مدل در طول یک سیکل در همین ناحیه باقی می‌ماند.



شکل ۴ مقادیر میانگین تنش‌های وارد شده بر هر یک از مدل‌ها در یک سیکل پرواز



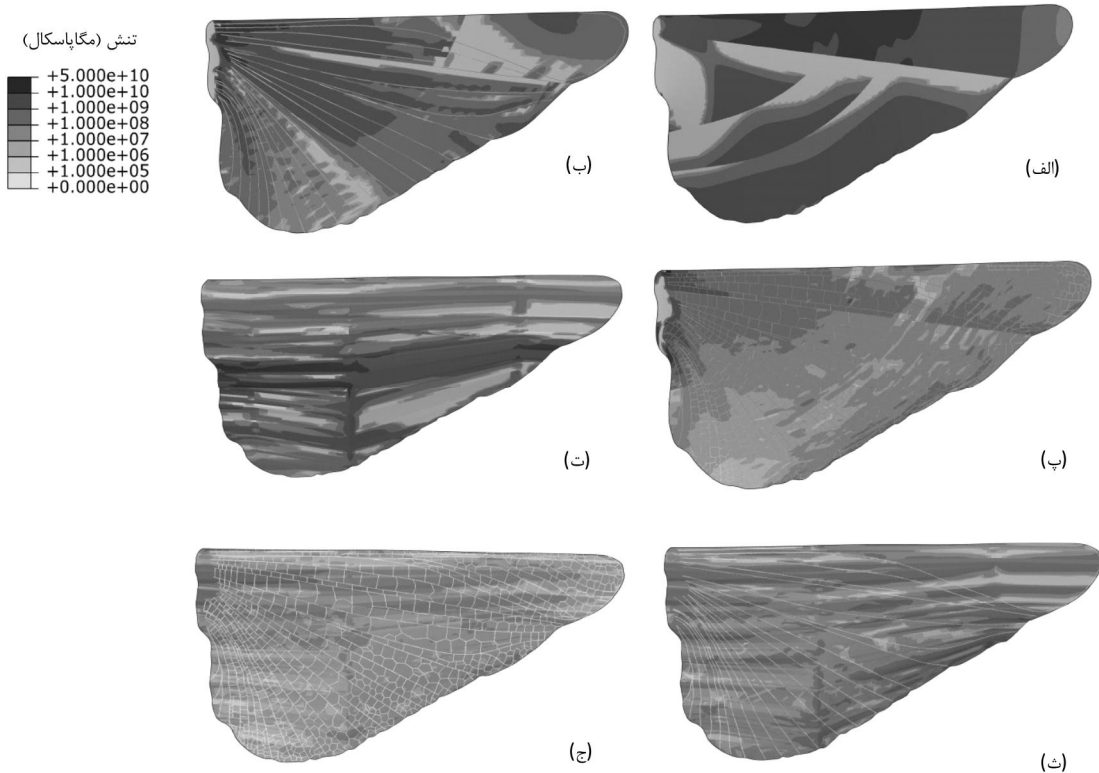
شکل ۵ مقادیر انحراف معیار هر یک از مدل‌های ۱ تا ۶



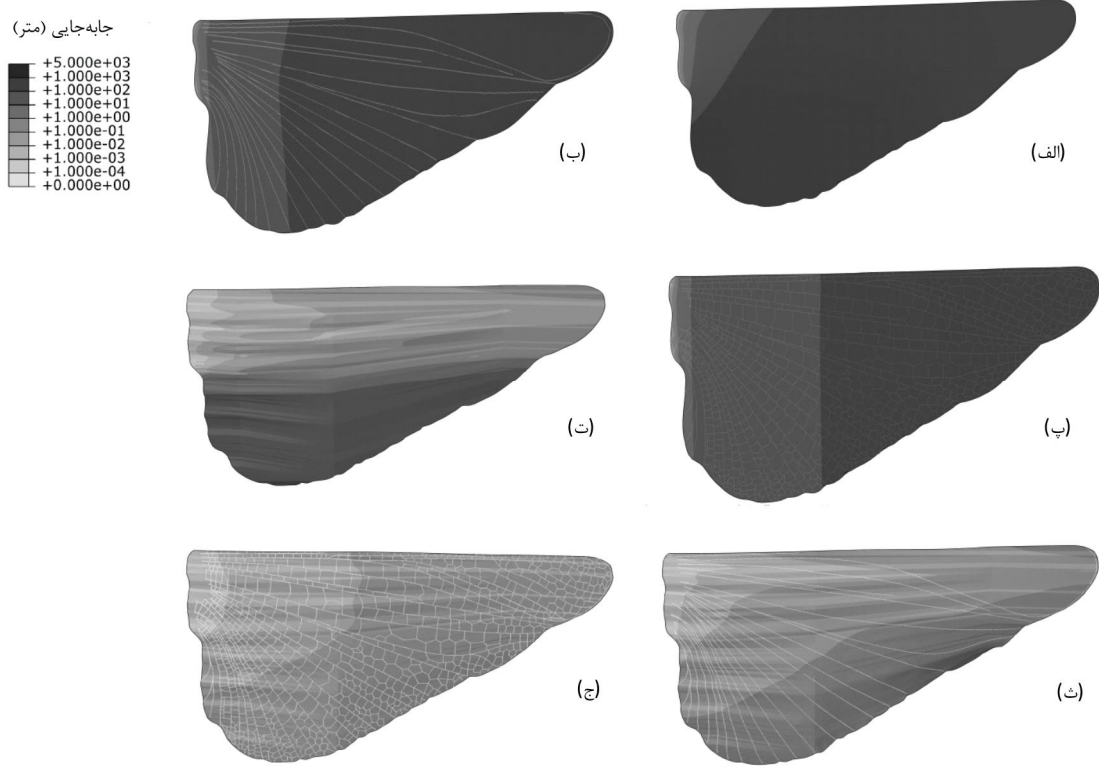
شکل ۶ مقادیر تنش‌های مدل‌های ۱ تا ۶ در ۱۰ زمان مختلف در طول یک سیکل پرواز

شکل ۷-الف در زمان ۰/۱ سیکل برای مدل ۱ نشان می‌دهد که بیشترین مقدار تنش در قسمت میانی و قسمت نزدیک به پایه بال در ناحیه سخت پیشین یعنی در ناحیه ۲ قرار دارد. در زمان ۰/۲ سیکل نواحی ۱ و ۲ و قسمت‌های مرزی نواحی ۳ و ۶ دارای بیشترین قدر تنش بوده و برای زمان‌های بعدی نیز می‌توان گفت بیشترین قدر تنش‌ها به نواحی مرزی بال اختصاص دارند.

در شکل ۷-ب برای مدل ۲ توزیع تنش متفاوت با مدل ۱ بوده و نسبت



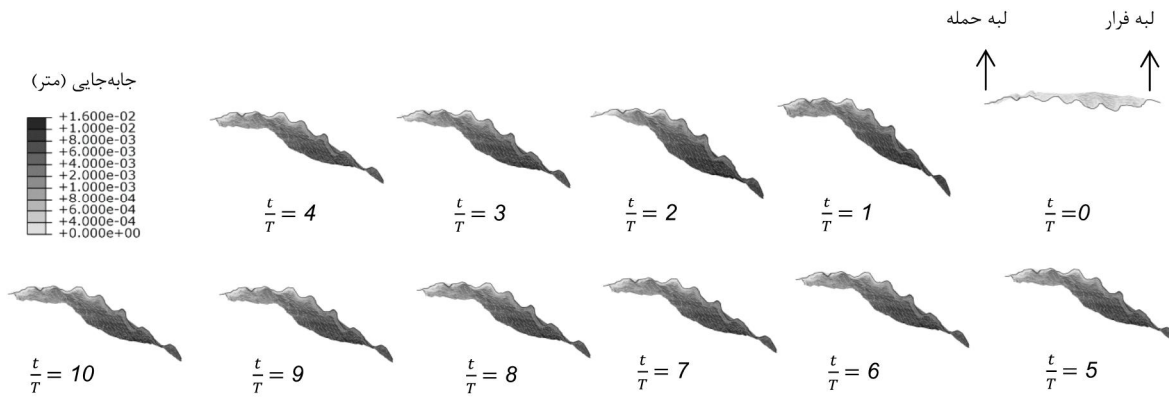
شکل 7 نمایش توزیع ایجاد شده در مدل 1 تا 6 در زمان 0/1 سیکل، الف - مدل 1، ب - مدل 2، پ - مدل 3، ت - مدل 4، ث - مدل 5، ج - مدل 6.



شکل 8 نمایش جایه‌جایی‌های ایجاد شده در بال عقب ملخ بر اثر اعمال نیروهای اینرسی و آپرودینامیکی با توزیع یکنواخت، الف - مدل 1، ب - مدل 2، پ - مدل 3، ت - مدل 4، ث - مدل 5، ج - مدل 6.

جایه‌جایی آن چنانکه در شکل 8-ث نشان داده است در لبه بال و در زیر مرز ناحیه سخت پیشین و بادزن پسین قرار دارد. در زمان 0/2 سیکل نیز علاوه بر جایه‌جایی یاد شده، لبه بالایی و سمت راست بال نسبت به نواحی مجاور در موقعیت پایین‌تری قرار می‌گیرد.

برای مدل 4 نمایش توزیع جایه‌جایی در بال در طول یک سیکل ثابت بوده و بیشترین مقدار جایه‌جایی آن همواره در لبه فرار و در دورترین فاصله عمودی از لبه حمله بال قرار دارد. توزیع جایه‌جایی مربوط به این مدل در زمان 0/1 سیکل در شکل 8-ت نشان داده شده است. در مدل 5 بیشترین مقدار



شکل ۹ نمای جانبی مدل ۶ در طول یک سیکل پرواز

طولی بیشتر و از تأثیر حضور رگهای طولی و عرضی کمتر است. حضور رگهای طولی و چین و چروکها در بال هر دو عاملی برای افزایش سطح و ممان اینترسی بال هستند و به کاهش تنش های وارد شده به بال کمک می کنند. از مقادیر انحراف معیار به دست آمده برای هر یک از مدل ها می توان نتیجه گرفت که حضور اجزای ساختاری در بال علاوه بر کاهش مقدار تنش - ها، توزیع تنش های وارد شده به بال را نیز کنترل می کنند، به طوری که میزان پراکندگی تنش های مدل 1 که فاقد عوامل ساختاری بال است نسبت به مقدار میانگین از سایر مدل ها بیشتر و میزان پراکندگی تنش های مدل 6 که شامل تمام عوامل ساختاری می باشد از سایر مدل ها کمتر است. همچنین این نتیجه حاصل شده است که حضور رگهای طولی و عرضی باعث یکنواخت ت شدن تنش های ایجاد شده در بال می شوند.

جهاتی های ایجاد شده در مدل ها نیز نشان دادند که حضور هر یک از عوامل ساختاری در بال باعث تغییر محل ایجاد بیشینه جابه جایی ها می شود. علاوه بر این با مطالعه جابه جایی های به دست آمده برای مدل 6 نتیجه گرفته شد که تأثیر نیروهای اینرسی و آیروдинامیکی در تغییر شکل بال نسبت به نیروهای الاستیک که از طریق ماهیچه های متصل به پایه بال به آن وارد می - شوند ناچیز است. این نتیجه نتایجی را که کمبس و دنیل و رجبی و همکارانش در رابطه با سهم نیروهای آیروдинامیکی و اینرسی در تغییر شکل بال به دست آورده اند تأیید می کند.

٥-١٤٠

- [1] W. Fogh, Biology and physics on locust flight II, *Royal society*, PP. 459-510, 1956.
 - [2] M. Jensen, Biology and physics of locust flight III, *Royal society*, PP. 511-552, 1956.
 - [3] P. J. Wilkin, The instantaneus force on a desert locust. *Schistocerca gregaria*(Orthopetra: acrididae) Flying in a wind tunnel, *Journal Of The Kansas Entomological Society*, 1989.
 - [4] R. C. Herbert , P. G. Young, C. W. Smith, R. J. Wootton, K. E. Evans, The hind wing of the desert locust (schistocerca gregaria forskal)III, *The Journal of Experimental Biology*, Vol. 203, PP. 2945-2955, 2000.
 - [5] P. Tailie jin , N. S. Goo, H. CH., Finite element modeling of a beetle wing., *journal of bionic engineering* 7 suppl, S145-S149, 2010.
 - [6] S. A. Combes, T. L. Daniel, Into thin air: contributions of aerodynamic and inertial-elastic forces to wing bending in the hawkmoth *Manduca sexta*, *The Journal of Experimental Biology*. Vol. 206, PP. 2999-3006, 2003.
 - [7] D. Lentink, S. R. Jongerius, Structural Analysis of a Dragonfly Wing, *Experimental Mechanics*, pp. 1323-1334, 2010.
 - [8] H. rajabi, A. Rezaei, M. Darvizeh, A. Darvizeh, Free vibration analysis of Dragonfly wings with Finite Element Method, *International Journal of Multiphysics*, pp. 101-111, 2009.
 - [9] R. Herbert, R. J. Wootton, K.E. Evans, C.W. Smith, The hind wing of the desert locust (schistocerca gregariaforskål)II, *The Journal of Experimental Biology*, Vol. 203, pp. 2933-2943, 2000.

برای مدل 6 در تمامی زمان‌ها در یک سیکل پرواز بیشینه جایه‌جایی در لبه ناحیه باذن پسین قرار دارد و مقدار آن از $6/3$ میلیمتر تا 9 میلیمتر متغیر است. توزیع جایه‌جایی مربوط به این مدل در زمان 0/1 سیکل در شکل 8-ج نشان داده شده است. شکل 9 نمای جانبی مدل 6 را در طول یک سیکل پرواز در 10 زمان مختلف نشان می‌دهد. ملخ در طول پرواز بالهای خود را تا مزبور خود به یکدیگر نزدیک کرده و سپس از هم دور می‌کند [19]. لذا دامنه بال‌زنی ملخ حین پرواز تقریباً از 90° تا 0° است. مطابق شکل 9 تغییر شکل ایجاد شده در بال بر اثر اعمال نیروهای اینرسی و آبرودینامیکی نمی‌تواند سبب ایجاد چنین جایه‌جایی‌هایی در بال شود. لذا می‌توان نتیجه گرفت سهم نیروهای اینرسی و آبرودینامیکی در تغییر شکل بال نسبت به نیروهای الاستیک ناچیز است. این نتیجه که به کمک روش المان محدود در این مقاله به دست آمده است نتایجی را که کمبس و دنیل [6] به کمک روش تجربی و رجبی و همکارانش [8] به کمک روش تحلیلی برای بال حشرات به دست آورده‌اند، تأیید می‌کند.

4- بحث و نتیجه گیری

در این مقاله ابتدا ساختار میکروسکوپی بال عقب ملخ صحرایی به کمک میکروسکوپ الکترونی مورد مطالعه قرار گرفت. سپس اندازه‌گیری‌های ابعادی جهت ایجاد مدل‌هایی از بال حشره انجام شد و تأثیر حضور رگ‌های طولی، رگ‌های طولی و عرضی و چین و چروک‌ها بر تنش‌های ایجاد شده در بال بر اثر اعمال نیروهای اینرسی و آبرودینامیکی با توزیع یکنواخت به کمک روش المان محدود بررسی شد. عکس‌های میکروسکوپی گفته شده سطح مقطعی غیر ثابت را برای رگ‌های طولی و سطح مقطعی ثابت را برای رگ‌های عرضی نشان داده‌اند. این تغییر و ثابت بودن مقطع‌ها در مدل‌سازی‌ها لاحظ شده‌اند. همان‌طور که قبلاً هم گفته شد سطح بیرونی رگ‌های طولی صاف و سطح بیرونی رگ‌های عرضی مانند لوله‌های خرطومی حباب‌حباب مانند هستند. حالت حبابی رگ‌های عرضی باعث افزایش انعطاف‌پذیری بال‌ها می‌شود. هنگامی که ملخ اقدام به جمع کردن ناحیه پادبزنی شکل بال می‌کند این ناحیه در امتداد رگ‌های عرضی دچار خمش می‌شود و ساختار رگ‌های عرضی حبابی شکل به این خم شوندگی کمک می‌کند.

نتایج حاصل از تحلیل‌های المان محدود نیز نشان داده است که حضور رگ‌های طولی، رگ‌های طولی و عرضی، چین و چروک‌ها، رگ‌های طولی و چین و چروک‌ها و در نهایت رگ‌های طولی و عرضی و چین و چروک‌ها به ترتیب تنش‌های میانگین وارد بر بال را در طول یک سیکل پرواز $4.25/75$ و $184/54$ برابر کاهش می‌دهند. همچنین این نتیجه حاصل شده است که تأثیر حضور چین و چروک‌ها بر کاهش تنش‌ها از تأثیر رگ‌های

- [15] R.C. Herbert, P.G. Young, K.E. Evans, R.J. Wootton, Approaches to structural modeling of insect wings, *Royal Society*, pp. 1577-1587, 2003.
- [16] K. L. Page, T. Matheson, wing hair sensilla underlying aimed hindleg scratching of the locust, *The Journal of Experimental Biology*, pp. 2691-2703, 2004.
- [17] A. Darvizeh, S. Anami Rad, M. Darvizeh, R. Ansari, H. Rajabi, Investigation of microstructure and mechanical behavior of Woodlouse shells using experimental methods and numerical modeling, *Modares Mechanical Engineering*, 2014.
- [18] H. Rajabi, & A. Darvizeh, Experimental investigations of the functional morphology of dragonfly wings. *Chinese Physics*, 2013.
- [19] R. J. Wootton, K. E. Evans, R. Herbert and C. W. Smith, The hind wing of the desert locust (*schistocerca gregariaforskali*)I. Functional morphology and mode of operation, *The Journal of Experimental Biology*, PP. 2921-2931, 2000.
- [10] S. P. Sane, M. H. Dickinson, The aerodynamic effects of wing rotation and revised quasi-steady model of flapping flight, *The journal of experimental biology*, Vol. 205, pp. 1087-1096, 2002.
- [11] M. Simon, Walker, L.R. Adrian, Thomas and Graham, K. Taylor, Deformable wing kinematics in the desert locust: How and why do camber, twist and topography vary through the stroke?, *Journal of royal society*, pp. 735-747, 2008.
- [12] A. Stacey, Combes, Materials, Structure, and Dynamics of Insect Wing as Bioinspiration for MAVs, *Department of Organismic and Evolutionary Biology*, 2010.
- [13] H. Rajabi, M. Moghadami, A. Darvizeh, Investigation of Microstructure, Natural Frequencies and Vibration Modes of Dragonfly Wing, , *Journal of Bionic Engineering*, pp. 165-173, 2011.
- [14] Y. Shibutani, H. Tanaka, Large deformability of 2D framed structures connected by flexible joints, *Journal of Solid Mechanics and Materials Engineering*, pp. 1037-1048, 2008.